

Для прогнозирования областей возможных разрушений рассчитывались поля плотности работы напряжений на пластических деформациях

$$A_p = \int_t \operatorname{tr}(\sigma \cdot \epsilon^p) dt = \int_t H(f) \operatorname{tr}(s \cdot \nabla V) dt$$

и максимальных главных напряжений

$$\sigma_I = \max \left\{ \sigma_{00}, 0,5 \left[\sigma_{RR} + \sigma_{ZZ} + \sqrt{(\sigma_{RR} - \sigma_{ZZ})^2 + 4\sigma_{RZ}^2} \right] \right\}.$$

На фиг. 6 представлены изолинии A_p и σ_I (штриховые и сплошные линии соответственно), откуда видно, что область разрушений сдвига, при котором в качестве критерия выступает пластическая работа A_p , наиболее вероятна у острия и краев конуса. Разрушение же, обусловленное действием растягивающих напряжений, может локализоваться у тыльной поверхности преграды после взаимодействия с этой поверхностью ударной волны сжатия.

В заключение отметим, что сравнение результатов расчетов для двух типов граничных условий на контактной поверхности цилиндрический ударник — преграда (условия полного слияния и скольжения без трения) показало разницу по величине глубины внедрения не более 2%.

ЛИТЕРАТУРА

1. Меньшиков Г. П., Одинцов В. А., Чудов Л. А. Внедрение цилиндрического ударника в конечную плиту. — Изв. АН СССР. МТТ, 1976, № 1.
2. Гриднева В. А., Корнеев А. И., Трушков В. Г. Численный метод расчета напряженного состояния и разрушения плиты конечной толщины при ударе бойками различной формы. — Изв. АН СССР. МТТ, 1977, № 1.
3. Фомин В. М., Яненко П. П. Численное моделирование задач высокоскоростного взаимодействия тел. — В кн.: Материалы симпозиума. Нелинейные волны деформации. Т. 2. Таллин, 1978.
4. Kondaurov V. I., Kukudjanov V. N. On constitutive equations and numerical solution of the multidimensional problems of the dynamics of nonisothermic elastic-plastic media. — Arch. Mech., 1979, vol. 31, N 5.
5. Фомин В. М., Гулидов А. И. Численное моделирование отскока осесимметричных стержней от твердой преграды. — ПМТФ, 1980, № 3.
6. Магомедов К. М., Холодов А. С. О построении расчетных схем для уравнений гиперболического типа на основе характеристических соотношений. — ЖВММФ, 1969, № 2.
7. Холодов А. С. О построении разностных схем с положительной аппроксимацией для уравнений гиперболического типа. — ЖВММФ, 1978, т. 18, № 6.
8. Кондауров В. И., Рой И. В. Исследование и применение одной разностной консервативной схемы для уравнений динамики деформируемой среды. — ЧММСС, 1980, т. 2, № 2.
9. Седов Л. И. Механика сплошной среды. Т. 2. М.: Наука, 1973.
10. Кукуджанов В. П., Кондауров В. И. Численное решение неоднородных задач динамики твердого тела. — В кн.: Проблемы динамики упругоэластических сред. М.: Мир, 1975.
11. Курант Р. Уравнения с частными производными. М.: Мир, 1964.
12. Витман Ф. Ф., Степанов В. А. Влияние скорости деформирования на сопротивление деформированию металлов при скоростях удара 10^2 – 10^3 м/с. — В кн.: Некоторые проблемы прочности твердого тела. М.—Л.: Изд-во АН СССР, 1959.

Поступила 8/VI 1983 г.

УДК 539.4; 539.376

МОДЕЛЬНОЕ ПРЕДСТАВЛЕНИЕ ПРЕДЕЛЬНОЙ ДЕФОРМАЦИИ ПРИ ПОЛЗУЧЕСТИ

М. Д. ДАЧЕВА, А. М. ЛОКОЩЕНКО, С. А. ШЕСТЕРИКОВ
(Москва)

В рамках концепции уравнения состояния по Ю. Н. Работнову [1] рассмотрим описание процессов деформирования в условиях, когда определяющим является накопление поврежденности ω .

Воспользуемся вариантом уравнения состояния, предложенным в [2]:

- (1) $d\epsilon/dt = G'(s)ds/dt + F(s);$
- (2) $d\omega/dt = g'(s)ds/dt + f(s).$

Уравнения (1), (2) определяют изменение полной деформации ε и поврежденности ω во времени t вплоть до момента разрушения $t = t^*$. Штрих означает дифференцирование по эффективному напряжению s . Входящие в (1), (2) функции $G'(s)$, $F(s)$, $g'(s)$ и $f(s)$ монотонно возрастают с увеличением s .

Пусть к образцу приложена постоянная растягивающая сила, вызывающая в нем напряжение σ_0 и малую деформацию ε . Входящее в (1), (2) эффективное напряжение является функцией параметра ω . Рассмотрим два варианта этой функции. В первом варианте примем зависимость

$$(3) \quad s = \sigma_0 \exp \omega,$$

совпадающую при малой деформации с зависимостью, предложенной в [3]. Во втором варианте используем функцию

$$(4) \quad s = \sigma_0 / (1 - \omega),$$

введенную в [1].

Рассмотрим сначала первый вариант этой зависимости $s(\omega)$. Из (2), (3) найдем значение эффективного напряжения s_0 в момент нагружения ($t = +0$):

$$(5) \quad s_0 = \sigma_0 \exp g(s_0).$$

В [3] показано, что с помощью условия $ds/dt \rightarrow +\infty$ можно получить уравнение для предельного значения эффективного напряжения $s^* = s(t^*)$:

$$(6) \quad [sg'(s)]_{s^*} = 1.$$

Из (6) следует, что предельное значение s^* зависит только от вида материальной функции $g(s)$ и при различных значениях σ_0 остается неизменным. Время разрушения $t = t^*$ и соответствующие ему предельные значения деформации $\varepsilon(t^*) = \varepsilon^*$ и поврежденности $\omega(t^*) = \omega^*$ определяются из (1)–(3) следующим образом:

$$(7) \quad t^* = \int_{s_0}^{s^*} K ds, \quad \varepsilon^* = G(s^*) + \int_{s_0}^{s^*} KF ds, \quad \omega^* = g(s^*) + \int_{s_0}^{s^*} Kf ds, \quad K = \frac{1 - sg}{sf}.$$

Рассмотрим зависимости предельных значений деформации ε^* и поврежденности ω^* от напряжения σ_0 . В соотношениях (7) от σ_0 зависят только нижние пределы интегралов, причем $s_0(\sigma_0)$, согласно (5), (6), — возрастающая функция. Все остальные входящие в (7) величины определяются свойствами материала и от напряжения σ_0 не зависят. Поэтому увеличение напряжения σ_0 приводит к уменьшению предельных значений t^* , ε^* и ω^* . Таким образом, модель (1), (2) с использованием связи номинального σ_0 и эффективного s напряжений в виде (3) при любом виде используемых четырех материальных функций позволяет описать результаты испытаний, в которых наблюдается монотонно убывающая зависимость предельных значений деформации ε^* и поврежденности ω^* от номинального напряжения σ_0 .

Перейдем ко второму варианту зависимости $s(\omega)$. Рассмотрим систему уравнений (1), (2), (4). Покажем, что введение функции $s(\omega)$ в виде (4) позволяет при некоторых условиях получить качественно новый, немонотонный характер зависимости $\varepsilon^*(\sigma_0)$ при сохранении той же убывающей зависимости $\omega^*(\sigma_0)$. Рассмотрим изменение эффективного напряжения s во времени t . В начальный момент времени из (2), (4) получаем начальное значение s_0 :

$$(8) \quad s_0 = \sigma_0 / (1 - g(s_0)).$$

Дифференцируя (4) по времени и используя (2), получаем

$$(9) \quad \frac{ds}{dt} = \frac{\sigma_0}{(1 - \omega)^2} \frac{d\omega}{dt} = \frac{fs^2}{\sigma_0 - s^2 g'}.$$

Предельное значение s^* определяется из условия $ds/dt \rightarrow +\infty$:

$$(10) \quad (s^2 g')|_{s^*} = \sigma_0.$$

Отсюда следует, что значение s^* возрастает с увеличением σ_0 . Исключив ds/dt из (2), (9), получим

$$(11) \quad \frac{d\omega}{dt} = \frac{f(1 - \omega)^2}{(1 - \omega)^2 - \sigma_0^2 g'}, \quad \omega^* = 1 - \sqrt{\sigma_0^2 g'(s^*)}.$$

Из (11) вытекает, что значение ω^* всегда меньше 1, причем зависимость $\omega^*(\sigma_0)$ имеет монотонно убывающий характер. Для получения ε^* исключим ds/dt из (1), (9):

$$(12) \quad \varepsilon^* = G(s^*) + \int_{s_0}^{s^*} \frac{(\sigma_0 - s^2 g') F}{fs^2} ds.$$

В общем случае оценить зависимость ε^* от σ_0 невозможно. Допустим, что все входящие в (1), (2) функции материала являются степенными:

$$(13) \quad G' = As^{m_1}, \quad F = Bs^{m_2}, \quad g' = as^{n_1}, \quad f = bs^{n_2}.$$

Естественно считать, что $m_1 > 0$, $n_1 > 0$, $m_2 > 1$, $n_2 > 1$. Для удобства будем пользоваться безразмерными переменными. Отнесем напряжения σ_0 и s и время t к таким величинам, чтобы уравнение (1) с учетом (13) имело в обоих слагаемых коэффициенты, равные единице. Ниже всюду под σ_0 и s будем понимать соответствующие безразмерные напряжения, равные истинным значениям, отнесенным к

$$R = A \frac{1}{m_1 + 1}.$$

Введем также безразмерное время $\tau = BR^{m_2} t$. В этих переменных уравнения (1), (2) с учетом (13) принимают вид

$$(14) \quad \frac{d\varepsilon}{d\tau} = s^{m_1} \frac{ds}{d\tau} + s^{m_2}, \quad \frac{d\omega}{d\tau} = Cs^{n_1} \frac{ds}{d\tau} + Ds^{n_2},$$

$$\text{где } C = aR^{n_1+1}, \quad D = \frac{b}{B} R^{n_2-m_2}.$$

Начальное s_0 и предельное s^* значения связаны с σ_0 согласно (8), (10) следующим образом:

$$(15) \quad \sigma_0 = s_0 - \frac{C}{n_1 + 1} s_0^{n_1+2}, \quad s^* = \left(\frac{\sigma_0}{C} \right)^{\frac{1}{n_1+2}}.$$

Так как мгновенная деформация, согласно (14), определяется соотношением

$$(16) \quad \varepsilon_0 = \frac{s_0^{m_1+1}}{m_1 + 1},$$

то кривая мгновенного деформирования $\sigma_0 - \varepsilon_0$, согласно (15), (16), имеет немонотонный характер. Максимальное напряжение σ_{01} , которое образец при нагружении может выдержать, определяется из условия $d\sigma_0/d\varepsilon_0 = 0$, при этом

$$s_{01} = \left[\frac{n_1 + 1}{(n_1 + 2)C} \right]^{\frac{1}{n_1+1}}, \quad \sigma_{01} = Cs_{01}^{n_1+2}, \quad \varepsilon_{01} = \frac{s_{01}^{m_1+1}}{m_1 + 1}.$$

Выражение для предельной деформации ε^* определяется с помощью (12), (13) и зависит от значений двух комбинаций показателей степеней, входящих в (13):

$$L_1 = (m_2 - n_2 - 1) \text{ и } L_2 = (m_2 - n_2 + n_1 + 1).$$

Величины L_1 и L_2 одновременно равными нулю быть не могут.

При $L_1 \neq 0$ и $L_2 \neq 0$

$$(17) \quad \varepsilon^* = \frac{1}{m_1 + 1} \left(\frac{\sigma_0}{C} \right)^{\frac{m_1+1}{n_1+2}} + \frac{(n_1 + 2)C}{DL_1 L_2} \left(\frac{\sigma_0}{C} \right)^{\frac{L_2}{n_1+2}} - \frac{\sigma_0^{L_1}}{DL_1} + \frac{Cs_0^{L_2}}{DL_2}.$$

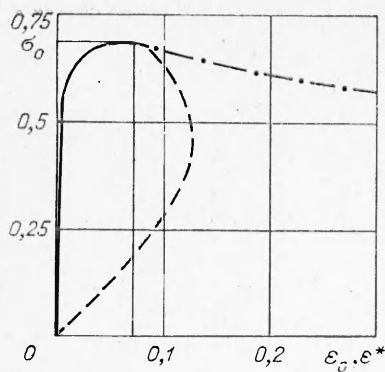
При $L_1 = 0$ получаем

$$\varepsilon^* = \frac{1}{m_1 + 1} \left(\frac{\sigma_0}{C} \right)^{\frac{m_1+1}{n_1+2}} + \frac{\sigma_0}{D} \ln \left[\frac{1}{s_0} \left(\frac{\sigma_0}{C} \right)^{\frac{1}{n_1+2}} \right] - \frac{C}{DL_2} \left[\left(\frac{\sigma_0}{C} \right)^{\frac{L_2}{n_1+2}} - s_0^{L_2} \right].$$

При $L_2 = 0$ имеем

$$\varepsilon^* = \frac{1}{m_1 + 1} \left(\frac{\sigma_0}{C} \right)^{\frac{m_1+1}{n_1+2}} + \frac{\sigma_0}{DL_1} \left[\left(\frac{\sigma_0}{C} \right)^{\frac{L_1}{n_1+2}} - s_0^{L_1} \right] - \frac{C}{D} \ln \left[\frac{1}{s_0} \left(\frac{\sigma_0}{C} \right)^{\frac{1}{n_1+2}} \right].$$

На фигуре в качестве примера приведены зависимости $\varepsilon_0(\sigma_0)$ и $\varepsilon^*(\sigma_0)$ при $C = D = 1$, $n_1 = 2$, $m_1 = 6$. Рассмотрим две комбинации значений остальных показателей степеней, характеризуемые параметром k . В случае $k = 1$ показатели m_2 и n_2 принимают значения $m_2 = 9$ и $n_2 = 7$, в случае $k = 2$ — значения $m_2 = 7$, $n_2 = 9$. Кривая $\varepsilon_0(\sigma_0)$, общая для обоих случаев, нанесена сплошной линией, кривые $\varepsilon^*(\sigma_0)$ для $k = 1$ и 2 нанесены соответственно штриховой и штрихпунктирной линиями. Из (17)



и фигуры очевидно, что зависимость $\varepsilon^*(\sigma_0)$ при $k = 1$ имеет немонотонный, а при $k = 2$ — монотонно убывающий характер.

Отметим, что немонотонность функции $\varepsilon^*(\sigma_0)$ вытекает из соотношения показателей степеней при слагаемых, определяющих длительные характеристики материала. Немонотонность проявляется в том случае, когда скорость ползучести имеет более высокую степень зависимости от напряжения по сравнению с зависимостью накопления длительной поврежденности. В этом случае играет роль учет нелинейных мгновенных характеристик аналогично тому, как ранее отмечалась немонотонность при использовании различных функциональных зависимостей для скорости ползучести и скорости накопления поврежденности [4].

ЛИТЕРАТУРА

1. Работнов Ю. Н. Ползучесть элементов конструкций. М.: Наука, 1966.
2. Broberg H. A new criterion for brittle creep rupture.— Trans. ASME, 1974, vol. E41, N 3.
3. Boström P. O., Broberg H., Bräthe L., Chrzanowski M. On failure conditions in viscoelastic media and structures.— In: Int. Symposium on mechanics of viscoelastic media and bodies. Berlin: Springer-Verlag, 1975.
4. Локощенко А. М., Шестерников С. А. Модель длительной прочности с немонотонной зависимостью деформации при разрушении от напряжения.— ПМТФ, 1982, № 1.

Поступила 24/XII 1982 г.

УДК 539.376

ОБ УСТАНОВИВШЕЙСЯ ПОЛЗУЧЕСТИ ОГНЕУПОРНЫХ КОМПОЗИТОВ

В. В. ДУДУКАЛЕНКО, С. П. ШАПОВАЛОВ

(Сумы)

Огнеупоры на основе корунда с высокой концентрацией включений ZrO_2 в интервале температур 1000—1800°C проявляют аномальные изменения скорости ползучести.

Кручение цилиндрических образцов в условиях установившейся ползучести исследовалось [1] при различных температурах. Характерная зависимость (фиг. 1) скорости ползучести от нагрузки показывает, что аномальное изменение вязкости происходит в области температур фазового превращения ZrO_2 [1].

1. С целью аппроксимации зависимости, показанной на фиг. 1, воспользуемся видоизменением модели Бингама. Диссипативные функции D выберем различными для малых и больших скоростей деформаций ε_{ij} и соответствующих напряжений σ_{ij} [2]:

$$D = k\sqrt{\varepsilon_{ij}\varepsilon_{ij}} + (1/2)v\varepsilon_{ij}\varepsilon_{ij}, \quad s_{ij} = \sigma_{ij} - (1/3)\sigma_{11}\delta_{ij} = \partial D / \partial \varepsilon_{ij},$$

здесь k — предел пластичности; v — коэффициент вязкости; индексом a будем отмечать те же величины k_a , v_a для больших скоростей деформаций.

Инварианты $\gamma = \sqrt{\varepsilon_{ij}\varepsilon_{ij}}$, $\tau = \sqrt{s_{ij}s_{ij}}$ одновременно служат обозначениями сдвиговых компонентов в задаче о кручении. В полярной системе координат (ρ, φ) максимальные напряжения достигаются на поверхности стержня $\rho = R$, а переход от зависимости $\tau = k + v\gamma$ к $\tau = k_a + v_a\gamma$ может иметь место при $\rho = R_1$. Зона интенсивной ползучести $R_1 \leq R$ с ростом напряжений распространяется к центру стержня. Можно показать, что кусочно-линейная зависимость $\tau(\gamma)$ переходит в гладкое сопряжение для зависимости крутящего момента M от скорости кручения θ . Так как $\gamma = \theta\rho$, получим

$$(1.1) \quad M = 2\pi \left[\int_0^{R_1} \tau \rho^2 d\rho + \int_{R_1}^R \tau \rho^2 d\rho \right], \quad M = 2\pi \left[k \frac{R^3}{3} + v\theta \frac{R^4}{4} \right] \text{ при } R_1 > R;$$

$$(1.2) \quad M = 2\pi \left[k_a \frac{R^3}{3} + v_a \theta \frac{R^4}{4} + \frac{(k_a - k)^4}{12\theta^3 (v_a - v)^3} \right], \quad R_1 = \frac{1}{\theta} \frac{k_a - k}{v - v_a} \leq R.$$